

06.1; 06.2

©1995

ИЗМЕНЕНИЕ КОНЦЕНТРАЦИИ ЭЛЕКТРОНОВ В КАНАЛЕ СЕЛЕКТИВНО ЛЕГИРОВАННЫХ ГЕТЕРОСТРУКТУР С U^- -ЦЕНТРАМИ ПРИ ФОТОВОЗБУЖДЕНИИ

В.И.Борисов, С.Г.Дмитриев, О.Г.Шагимуратов

Глубокие центры (так называемые DX -центры), образующиеся при легировании широкозонного материала в селективнолегированных гетероструктурах (СЛГС), существенно влияют на параметры транзисторов с высокой подвижностью электронов (НЕМТ) на их основе [1]. В этой связи представляет интерес модель многозарядного U^- -центра, предложенная в [2] для описания таких примесей. Отличительной чертой этой модели является обязательное, не связанное с технологией, наличие глубокого уровня, соответствующего одному из зарядовых состояний атома примеси. В данной работе проведены расчеты концентрации электронов в канале СЛГС n_s как для равновесного, так и для возбужденного (в результате подсветки) состояний U^- -центра.

Рассматриваемая структура (см. рис. 1) представляется собой последовательно расположенные слои легированного с концентрацией N $\text{Al}_x\text{Ga}_{1-x}\text{As}$, нелегированного $\text{Al}_x\text{Ga}_{1-x}\text{As}$ (спейсера) толщиной d и нелегированного GaAs . Концентрацию двумерного электронного газа (ДЭГ) n_s можно найти из условия постоянства уровня Ферми (квазиуровня — при подсветке), которое можно записать в виде

$$U_s - F_1 + F_2 = \Delta E_c, \quad (1)$$

где U_s — поверхностный изгиб зоны проводимости в AlGaAs на гетерогранице; F_1 , F_2 — положение уровня Ферми соответственно в объеме AlGaAs относительно дна зоны проводимости и ДЭГ относительно края дна зоны проводимости в GaAs на гетерогранице; ΔE_c — разрыв зоны проводимости.

В рассматриваемом случае атомы примеси в AlGaAs могут находиться в трех зарядовых состояниях — нейтральном, положительно и отрицательно заряженном [2], с концентрациями N^0 , N^+ , N^- соответственно. Особенностью U^- -центров является то, что сродство нейтрального центра к электрону ε_1 значительно превышает энергию иони-

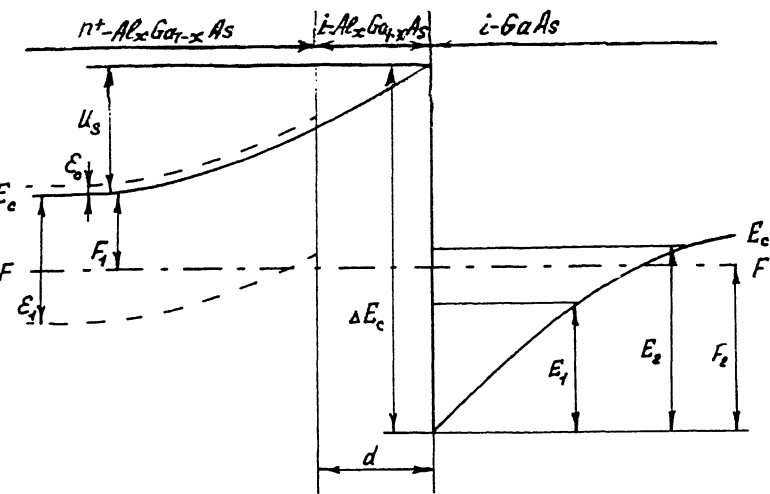


Рис. 1. Энергетическая диаграмма селективно легированной гетероструктуры с U^- -центрами в качестве легирующей примеси.

задии ε_0 . Значение F_1 определялось из условия электронейтральности в соответствии с уравнениями статистики для многозарядных центров [3]:

$$qn + N^- = N^+, \quad n = N_c \Phi_{1/2}(\varphi), \quad (2)$$

$$\varphi = \frac{F_1}{kT}, \quad \Phi_{1/2}(\varphi) = \frac{2}{\sqrt{\pi}} \int_0^\infty \frac{t^{1/2}}{1 + \exp(t - \varphi)} dt;$$

$$N = N^0 + N^- + N^+, \quad (3)$$

$$\frac{N^0}{N^+} = \frac{g^0}{g^+} \exp\left(\varphi - \frac{\varepsilon_0}{kT}\right), \quad \frac{N^-}{N^0} = \frac{g^-}{g^0} \exp\left(\varphi - \frac{\varepsilon_1}{kT}\right);$$

где N_c — плотность состояний в AlGaAs, kT — температура в энергетических единицах; g^0, g^+, g^- — кратности вырождения рассматриваемых зарядовых состояний (индексы соответствуют заряду центра).

Для вычисления U_s было проинтегрировано соответствующее уравнение Пуассона. Несложные, но громоздкие расчеты приводят к следующему выражению:

$$U_s = \frac{4\pi}{\kappa} q^2 n_s \left(\frac{1}{2} \frac{n_s}{N} + d \right) + kT \ln(1 + \theta + \nu) + \frac{N_c}{N} \Phi(\varphi), \quad (4)$$

$$\theta = \frac{g^0}{g^+} \exp\left(\varphi - \frac{\varepsilon_0}{kT}\right), \quad \vartheta = \frac{g^-}{g^+} \exp\left(2\varphi - \frac{\varepsilon_0 + \varepsilon_1}{kT}\right),$$

$$\Phi(\varphi) = \frac{2}{\sqrt{\pi}} \int_0^\infty t^{1/2} \ln \left[\frac{1 + \exp(t - \varphi)}{\exp(-U_s) + \exp(t - \varphi)} \right], \quad U_s = \frac{u_s}{kT}.$$

Здесь κ — диэлектрическая проницаемость AlGaAs, q — элементарный заряд.

Выражение для определения F_2 с учетом заполнения двух подзон размерного квантования с энергиями E_1 и E_2 имеет вид [4]:

$$n_s D k T \sum_{i=1}^2 \ln \left[1 + \exp \left(\frac{F_2 - E_i}{kT} \right) \right] \quad (5)$$

где $E_1 = 116(n_s/10^{12})^{2/3}$ мэВ, $E_2 = 149(n_s/10^{12})^{2/3}$ мэВ [5], D — двумерная плотность состояний в GaAs.

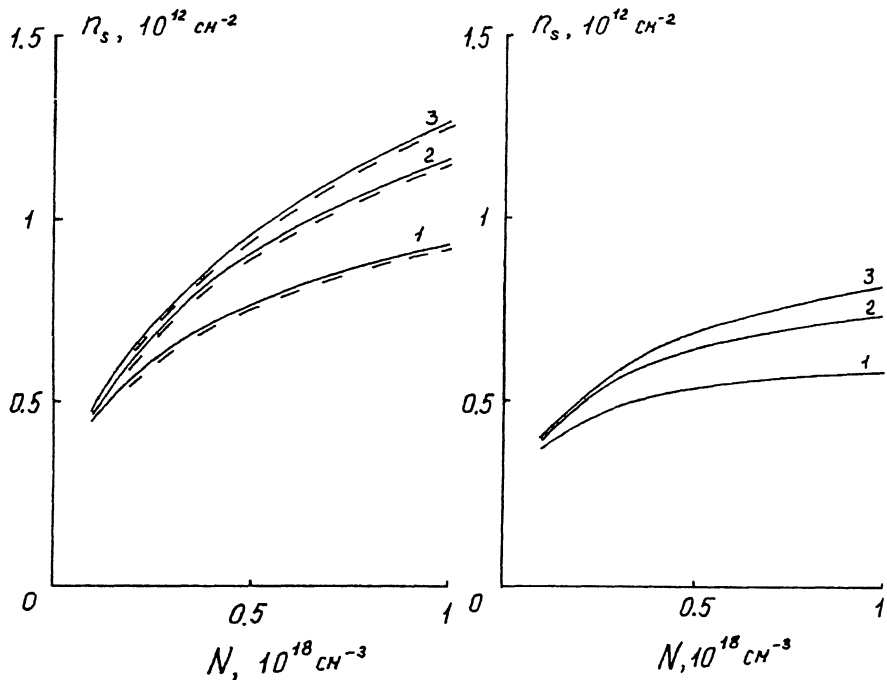


Рис. 2. Концентрация электронов в канале гетероструктуры $\text{Al}_x\text{Ga}_{1-x}\text{As}/\text{GaAs}$ в зависимости от концентрации легирующей примеси при $x = 0.3$ а) — $d = 0 \text{ \AA}$; б) — $d = 100 \text{ \AA}$. Кривые 1 соответствуют темновым значениям, 2 — замороженной фотопроводимости, 3 — полной ионизации, при $T = 77 \text{ K}$. Штриховой линией отмечены значения при $T = 300 \text{ K}$ и $d = 0 \text{ \AA}$.

Для оценки n_s при подсветке рассматривались две ситуации: первая соответствует обычной замороженной фотопроводимости, когда $N^- = 0$, вторая — сильному фотовозбуждению, когда также и $N^0 = 0$. Вычисления проводились аналогичным образом. При этом использовались следующие значения параметров: $\Delta E_c = 0.88x$ эВ [6], $\varepsilon_1 = -2(0.7 - 0.15x)10^3$ мэВ, $g^+ = 1$, $g^0 = 2$, $g_- = 4$ [2], $\varepsilon_0 = 5$ мэВ, $D = 2.83 \cdot 10^{13}$ см 13 см $^{-2}$ эВ $^{-1}$, $\kappa = 13.18 - 3.12x$. Более подробно выкладки и их анализ будут приведены в другом месте. Результаты расчетов изображены на рис. 2.

Как видно из рис. 2, n_s заметно увеличивается при фотовозбуждении U^- -центров. Это изменение составляет до 30% в условиях замороженной фотопроводимости и до 50% при сильном фотовозбуждении по отношению к темновым значениям, что вполне согласуется с имеющимися экспериментальными данными (см., напр., [7]). Кроме того, имеет место очень слабая температурная зависимость n_s во всех трех случаях, что связано с достаточно слабой зависимостью от температуры трех слагаемых в (1). Это явление во многом аналогично пиннингу барьера Шоттки [8] (в данном случае роль поверхностных состояний играет ДЭГ) и является наиболее существенным фактором, ограничивающим n_s при значениях $\approx 10^{12}$ см $^{-2}$.

Список литературы

- [1] Mooney P.M. // J. Appl. Phys. 1990. V. 67. N 3. P. R1-R26.
- [2] Chadi D.J., Chang K.J. // Phys. Rev. B. 1989. V. 39. N 17. P. 10063-10074.
- [3] Бонч-Бруевич В.Л., Калашников С.Г. Физика полупроводников. М.: Наука, 1990. 688 с.
- [4] Андо Т., Фаулер А., Стерн Ф. Электронные свойства двумерных систем. М.: Мир, 1985. 416 с.
- [5] Delagebeaudre D., Ling N.T. // IEEE Trans. El. Dev. 1982. ED-29. P. 955.
- [6] Smith S.R., Szmulovich F., Brown G.J. // J. Appl. Phys. 1994. V. 75. N 2. P. 1010-1013.
- [7] Алферов Ж.И., Иванов С.В., Копьев П.С., Мельцер Б.Я., Полянская Т.А., Савельев И.Г., Устинов В.М., Шмарцев Ю.В. // ФТП. 1985. Т. 19. В. 7. С. 1199-1203.
- [8] Родерик Э.Х. Контакты металл-полупроводник. М.: Радио и связь, 1982. 208 с.